

Fréquences spatiales

pierre-louis.frison@u-pem.fr

Fréquences temporelles

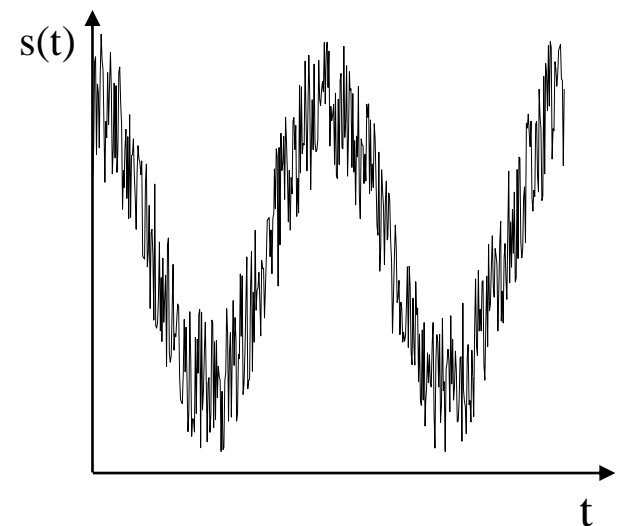
Signal temporel 1D:

Hautes fréquences: fortes variations de signal sur petite durée

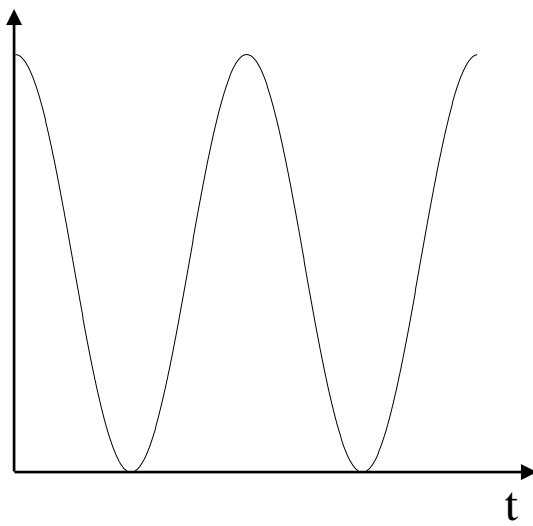
Basses fréquences: fortes variations de signal sur grande durée

basse fréquence

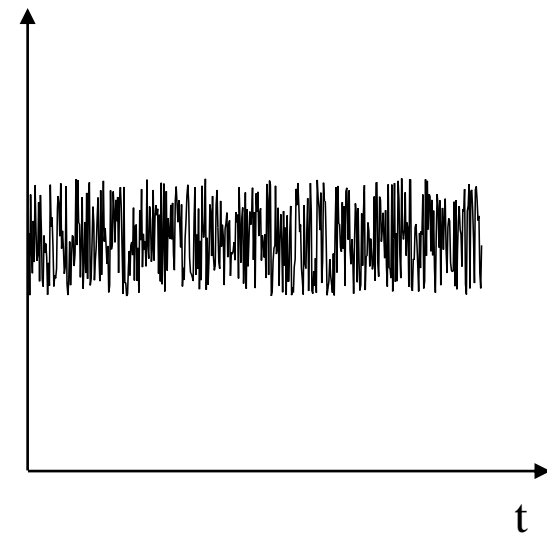
haute fréquence



=



*

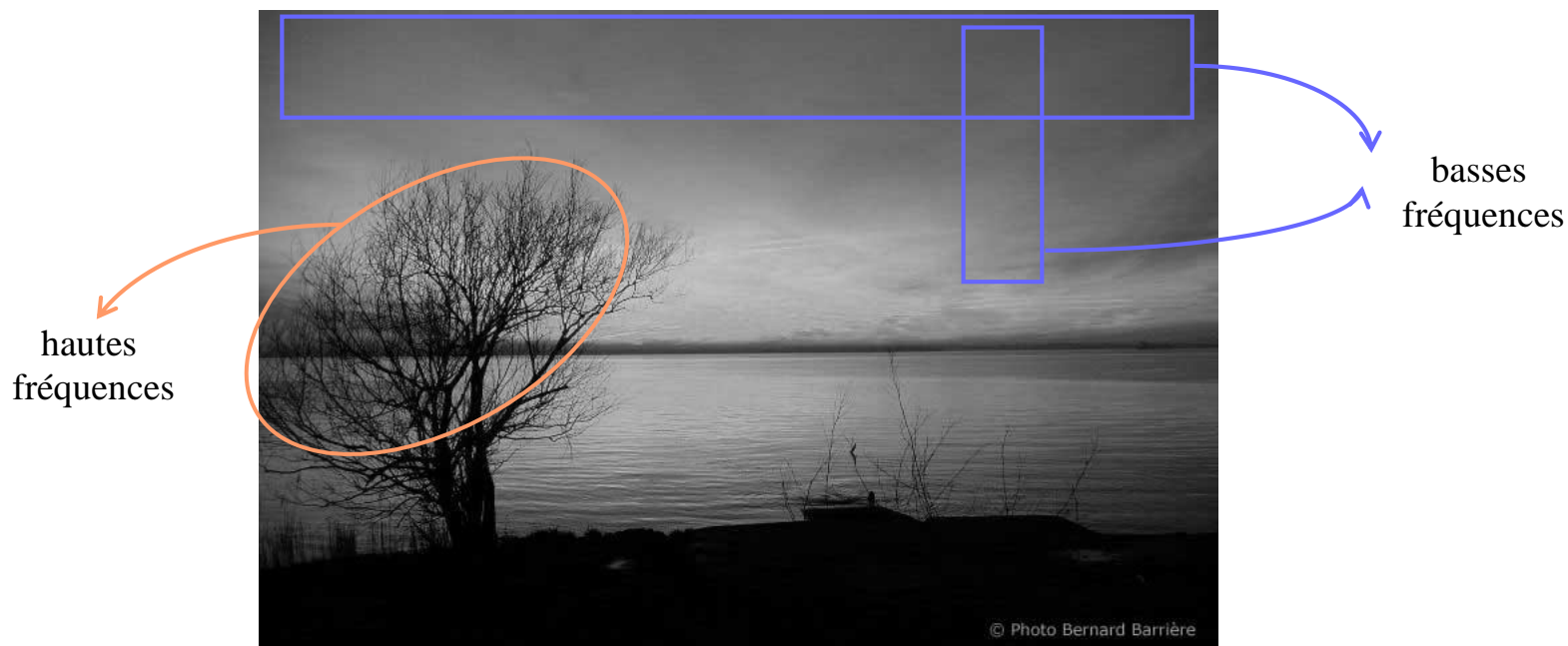


Fréquences spatiales

Image (signal spatial 2D):

Hautes fréquences: fortes variations de CN sur petite distance (contours, détails,...)

Basses fréquences: variations de CN sur grande distance (dégradés de fond d'image,...)



Transformée de Fourier 2D

f(x,y) image analogique

Transformée de Fourier:
$$F(u, v) = \int_{-\infty}^{+\infty} \int_{-\infty}^{+\infty} f(x, y) e^{-2j\pi(ux+vy)} dx dy$$

u, v: fréquences spatiales

Transformée de Fourier inverse:
$$f(x, y) = \int_{-\infty}^{+\infty} \int_{-\infty}^{+\infty} F(u, v) e^{2j\pi(ux+vy)} du dv$$

Notation polaire:
$$F(u, v) = |F(u, v)| e^{j\varphi(u, v)}$$

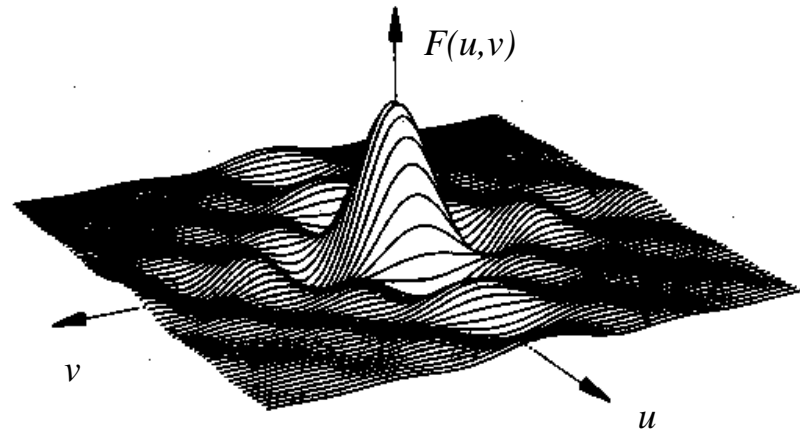
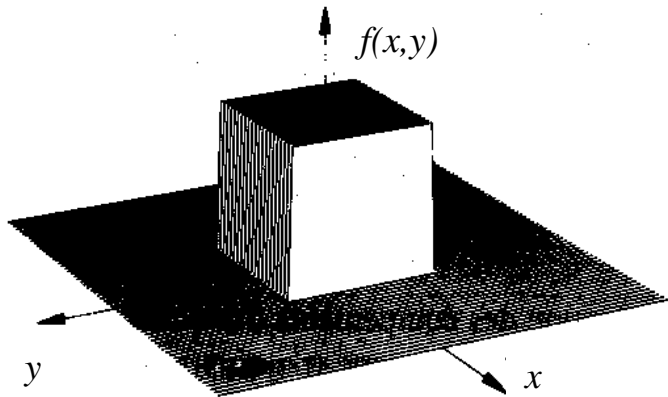
Spectre d'amplitude: $|F(u, v)|$

Spectre de puissance: $|F(u, v)|^2$

Spectre de phase: $\varphi(u, v)$

Exemple

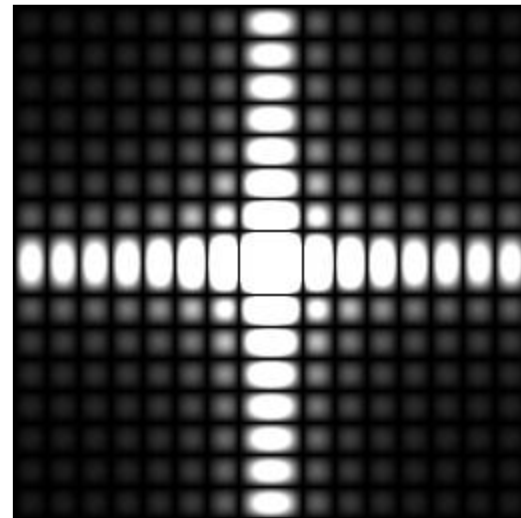
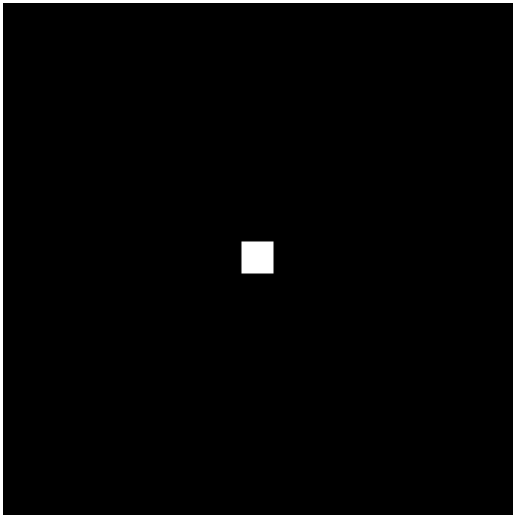
$$f(x, y) = A \begin{cases} -X/2 \leq x \leq X/2 \\ -Y/2 \leq y \leq Y/2 \end{cases}$$



$$F(u, v) = AXY \operatorname{sinc}(\pi u X) \operatorname{sinc}(\pi v Y)$$

Exemple

$$f(x, y) = A \begin{cases} -X/2 \leq x \leq X/2 \\ -Y/2 \leq y \leq Y/2 \end{cases}$$



$$|F(u, v)| = |AXY \operatorname{sinc}(\pi u X) \operatorname{sinc}(\pi v Y)|$$

Transformée de Fourier 2D discrète

$I(m,n)$ image numérique $n = 0, 1, 2, \dots M-1$
 $m = 0, 1, 2, \dots N-1$

Transformée de Fourier Discrète: $F(k,l) = \frac{1}{MN} \sum_{m=0}^{M-1} \sum_{n=0}^{N-1} I(m,n) e^{-2j\pi \left(k \frac{m}{M} + l \frac{n}{N} \right)}$

k, l : fréquences spatiales

Transformée de Fourier inverse: $I(m,n) = \sum_{k=0}^{M-1} \sum_{l=0}^{N-1} F(k,l) e^{2j\pi \left(m \frac{k}{M} + n \frac{l}{N} \right)}$

pas de l'échantillonnage spatial: Δx et Δy $x \in [0; M\Delta x]$
 $y \in [0; N\Delta y]$

Pas de l'échantillonnage fréquentiel: $\Delta u = \frac{1}{M\Delta x}$ et $\Delta v = \frac{1}{N\Delta y}$

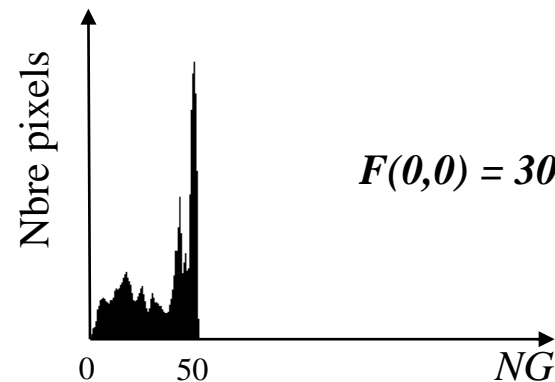
$u \in [0; 1/\Delta x]$
 $v \in [0; 1/\Delta y]$

Propriété de la TF 2D:
$$F(k,l) = \frac{1}{MN} \sum_{m=0}^{M-1} \sum_{n=0}^{N-1} I(m,n) e^{\left[-2j\pi\left(k\frac{m}{M} + l\frac{n}{N}\right)\right]}$$

☞ **Moyenne de l'image:**

$$F(0,0) = \frac{1}{MN} \sum_{m=0}^{M-1} \sum_{n=0}^{N-1} I(m,n)$$

Image originale I



$$F = FFT(I)$$

$$F(0,0) = 200$$

$$R = FFT^{-1}(F)$$

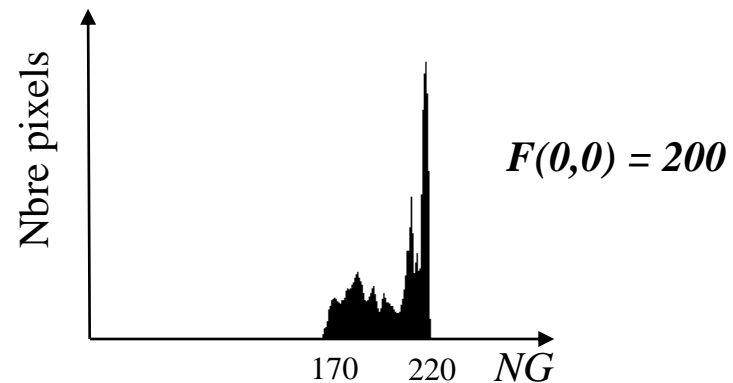
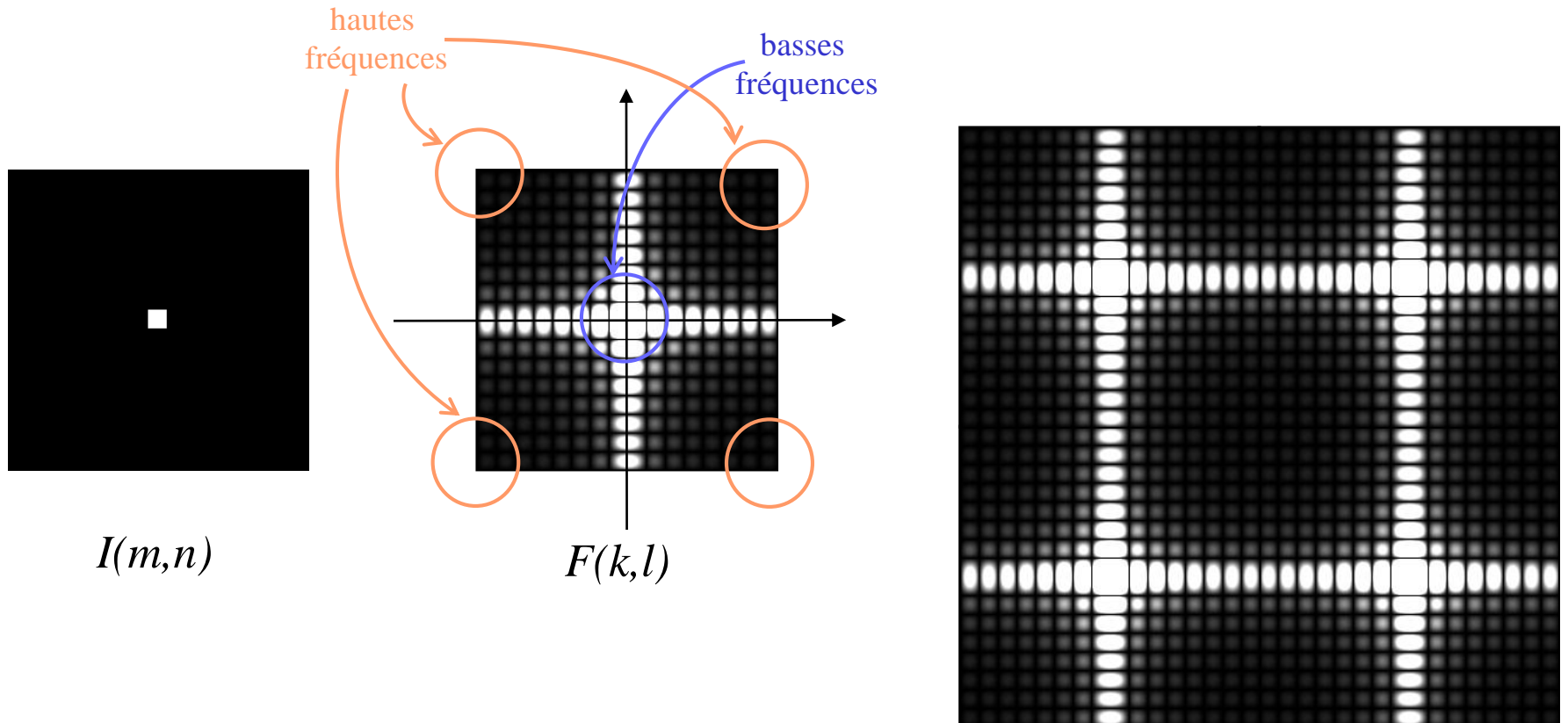


Image résultat R

Propriétés de la TF 2D discrète

$$F(k,l) = \frac{1}{MN} \sum_{m=0}^{M-1} \sum_{n=0}^{N-1} I(m,n) e^{-2j\pi \left(k \frac{m}{M} + l \frac{n}{N} \right)}$$

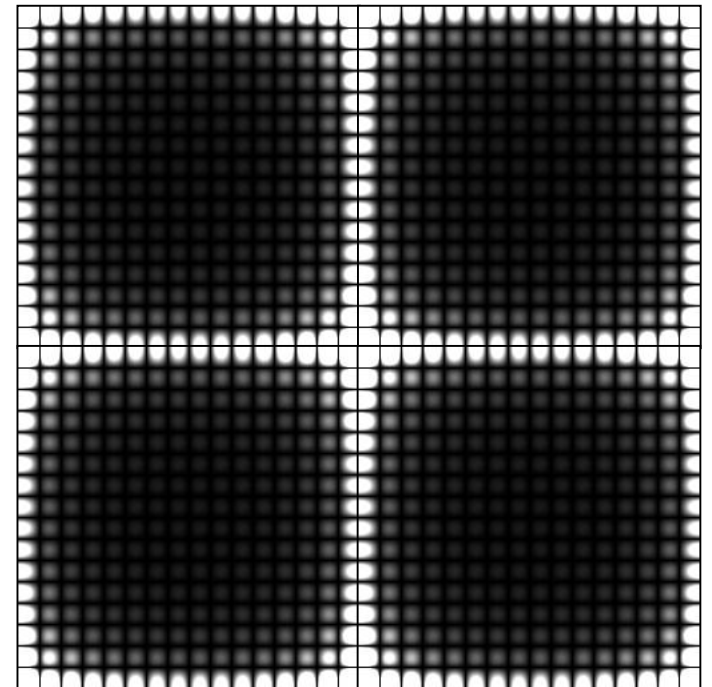
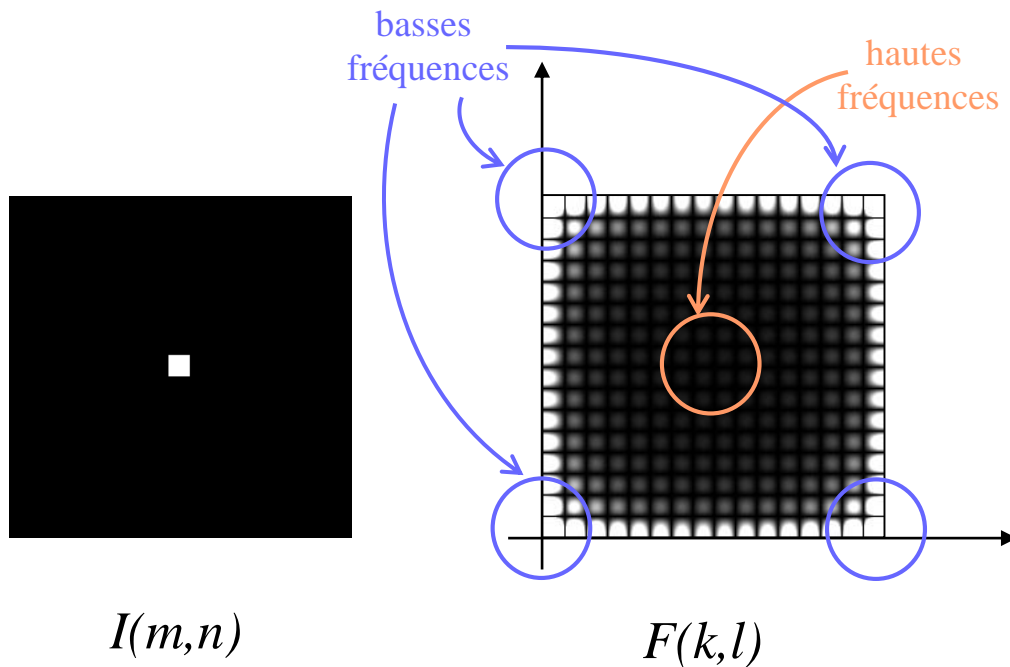
☞ Fonction **périodique** de période (M, N)



Propriétés de la TF 2D discrète

$$F(k,l) = \frac{1}{MN} \sum_{m=0}^{M-1} \sum_{n=0}^{N-1} I(m,n) e^{-2j\pi \left(k \frac{m}{M} + l \frac{n}{N} \right)}$$

☞ Fonction **périodique** de période (M, N)



☞ Représentation usuelle dans les logiciels standards

Propriétés TF 2D discrète

☞ Séparabilité

$$\begin{aligned} F(k, l) &= \frac{1}{M N} \sum_{m=0}^{M-1} \sum_{n=0}^{N-1} I(m, n) e^{\left[-2j\pi \left(k \frac{m}{M} + l \frac{n}{N} \right) \right]} \\ &= \frac{1}{M} \sum_{m=0}^{M-1} \left(\frac{1}{N} \sum_{n=0}^{N-1} I(m, n) e^{\left(-2j\pi l \frac{n}{N} \right)} \right) e^{-2j\pi k \frac{m}{M}} \\ &= \frac{1}{M} \sum_{m=0}^{M-1} I(m, l) e^{\left(-2j\pi k \frac{m}{M} \right)} \end{aligned}$$

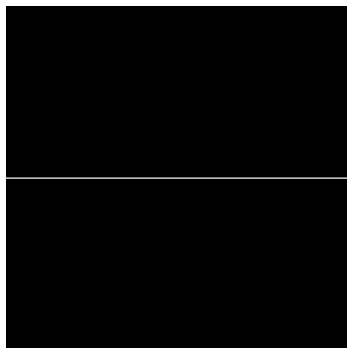
☞ *Calcul d'une TF-1D sur chaque colonne, puis TF-1D sur chaque ligne*

ou

☞ *Calcul d'une TF-1D sur chaque ligne, puis TF-1D sur chaque colonne*

EXEMPLES

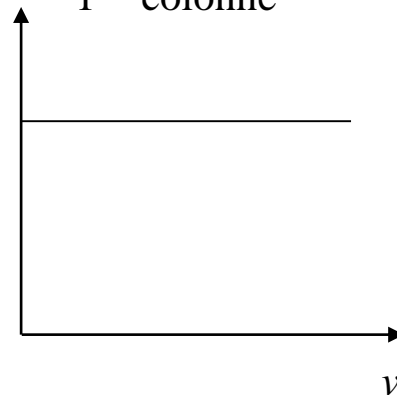
$I(m,n)$



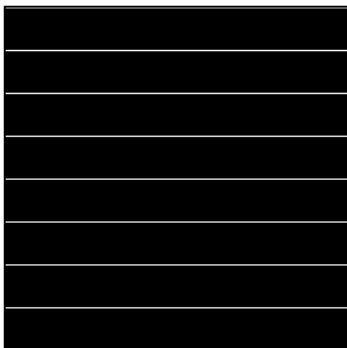
$|F(u,v)|$



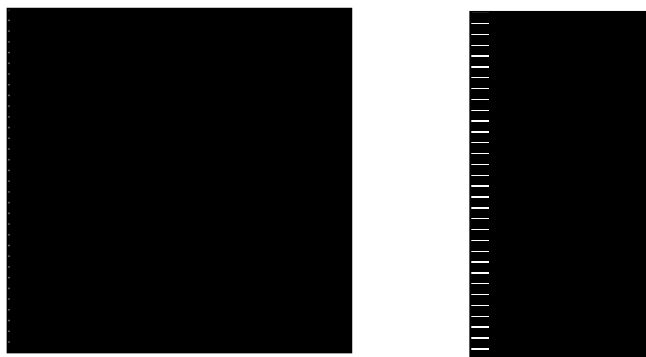
1^{ère} colonne



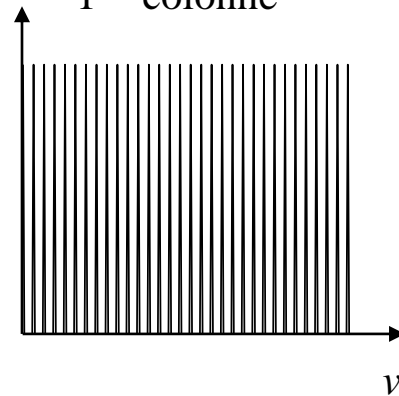
$I(m,n)$



$|F(u,v)|$

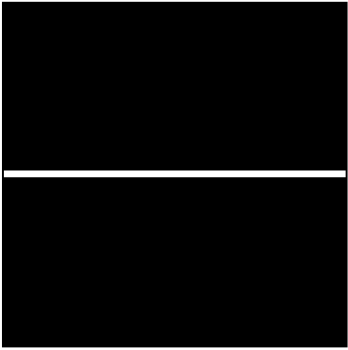


1^{ère} colonne

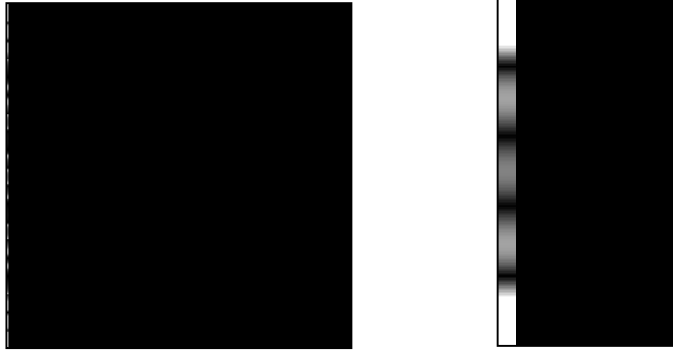


EXEMPLES

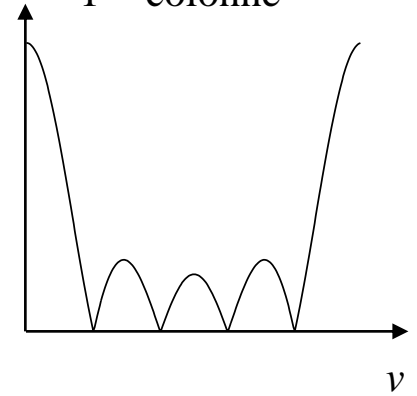
$I(m,n)$



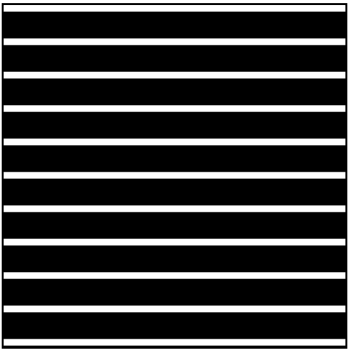
$|F(u,v)|$



1^{ère} colonne



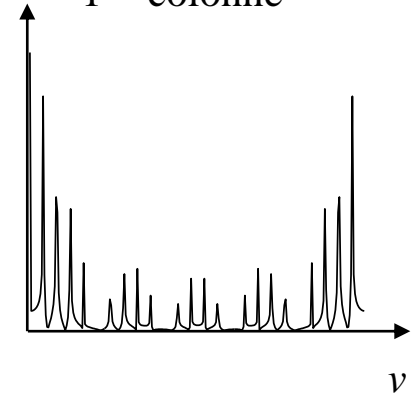
$I(m,n)$



$|F(u,v)|$

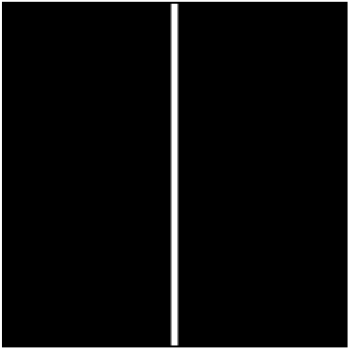


1^{ère} colonne

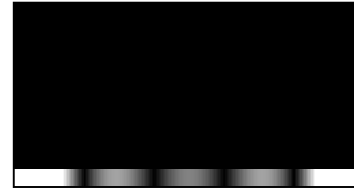


EXEMPLES

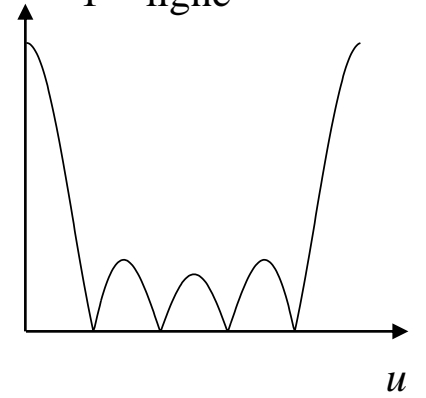
$I(m,n)$



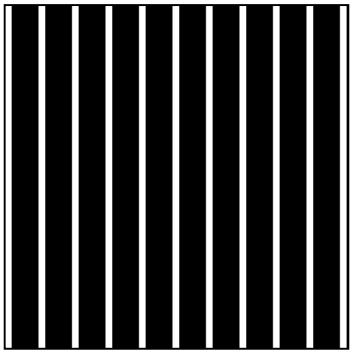
$|F(u,v)|$



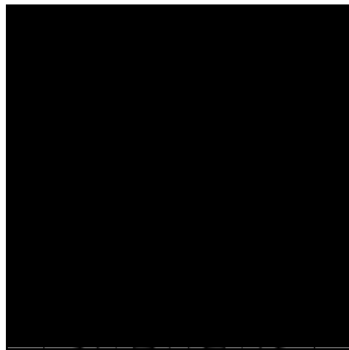
1^{ère} ligne



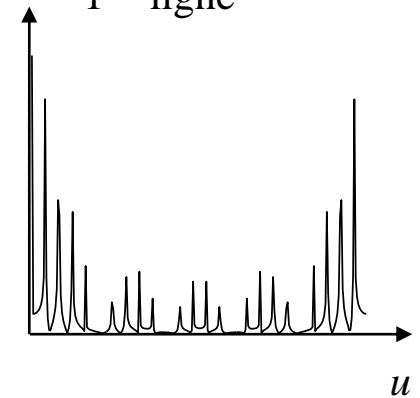
$I(m,n)$



$|F(u,v)|$

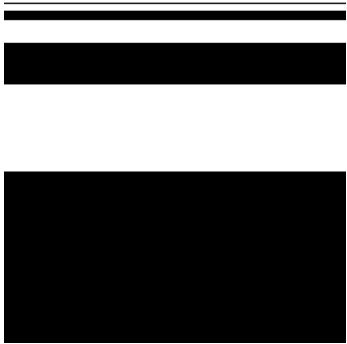


1^{ère} ligne



EXEMPLES

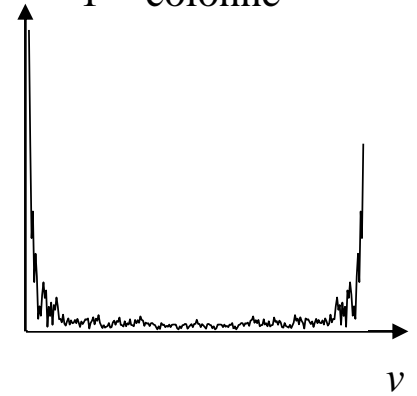
$I(m,n)$



$|F(u,v)|$



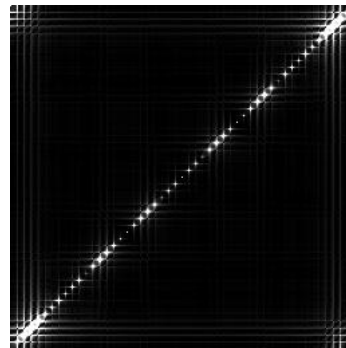
1^{ère} colonne



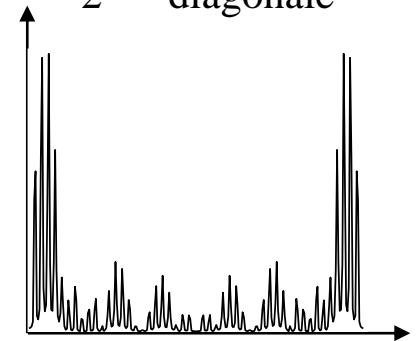
$I(m,n)$



$|F(u,v)|$

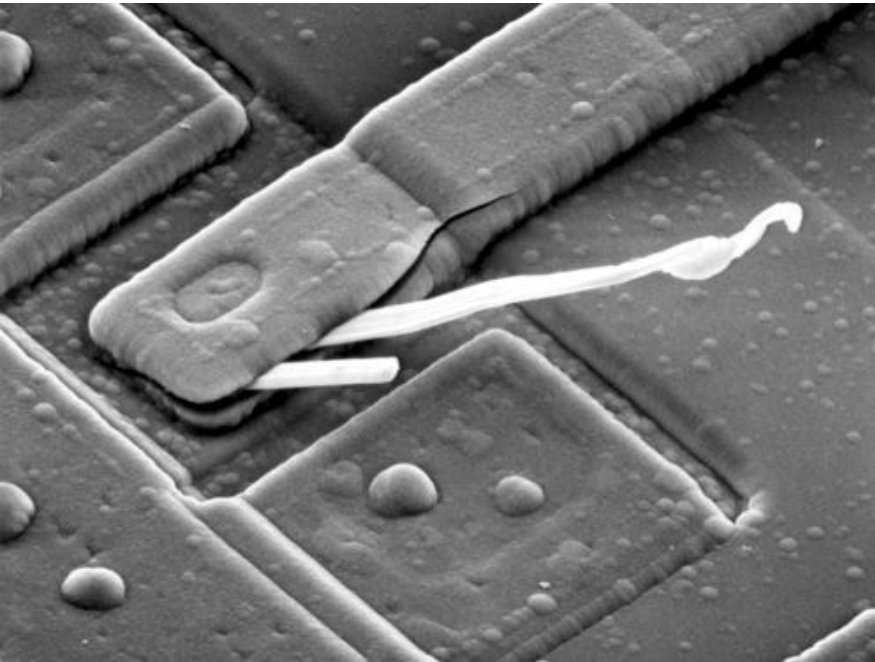


2^{ème} diagonale

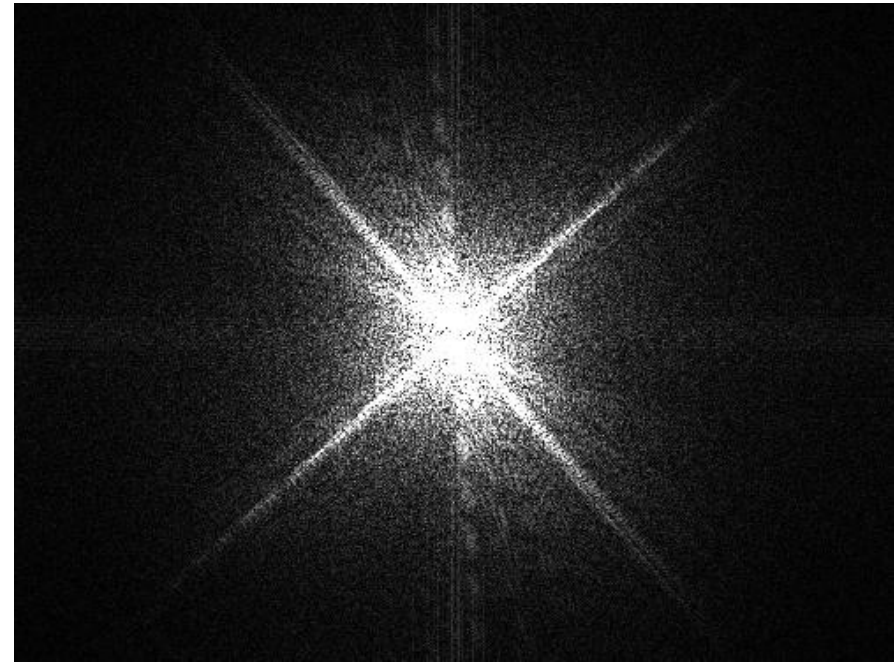


EXAMPLES

$I(m,n)$



$|F(u,v)|$



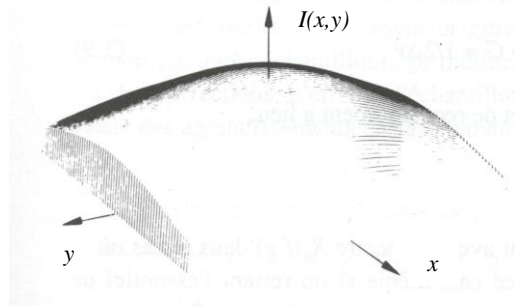
Echantillonnage 2D

$$F(u,v) = TF[I(x,y)] \quad \begin{array}{l} |u| \leq U_M \\ |v| \leq V_M \end{array}$$

condition de Shannon:

$$\Delta u = \frac{1}{T_{xe}} > 2U_M \quad ; \quad \Delta v = \frac{1}{T_{ye}} > 2V_M$$

image analogique: I



Peigne 2D: p

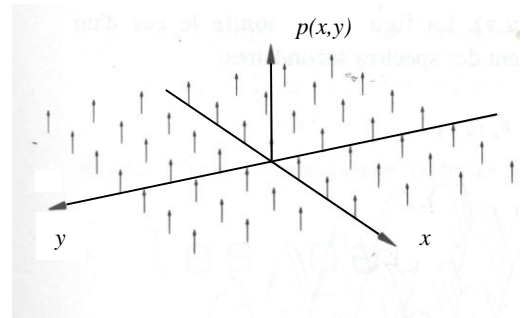
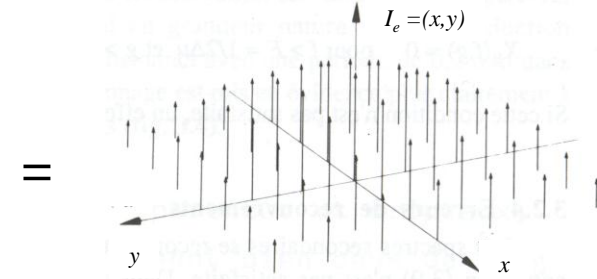
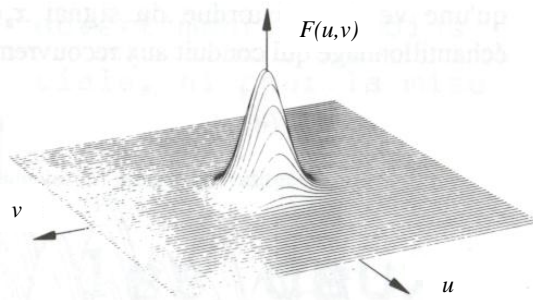


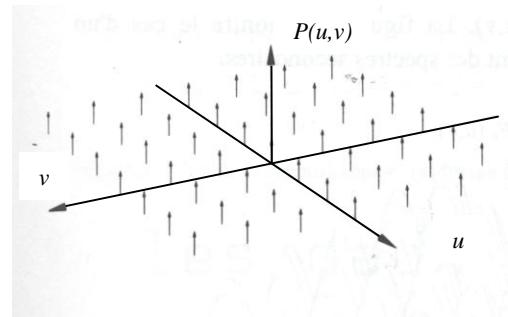
image échantillonnée: I_e



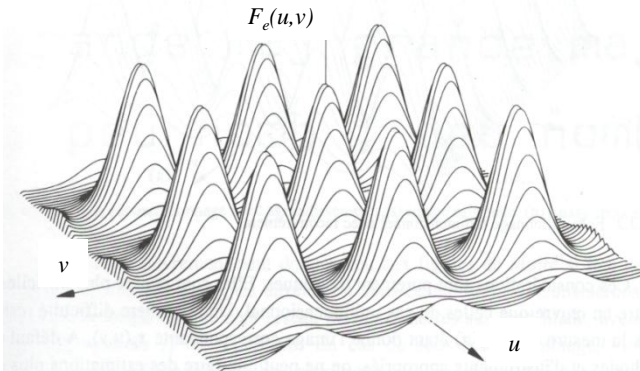
Spectre de I



Spectre de p



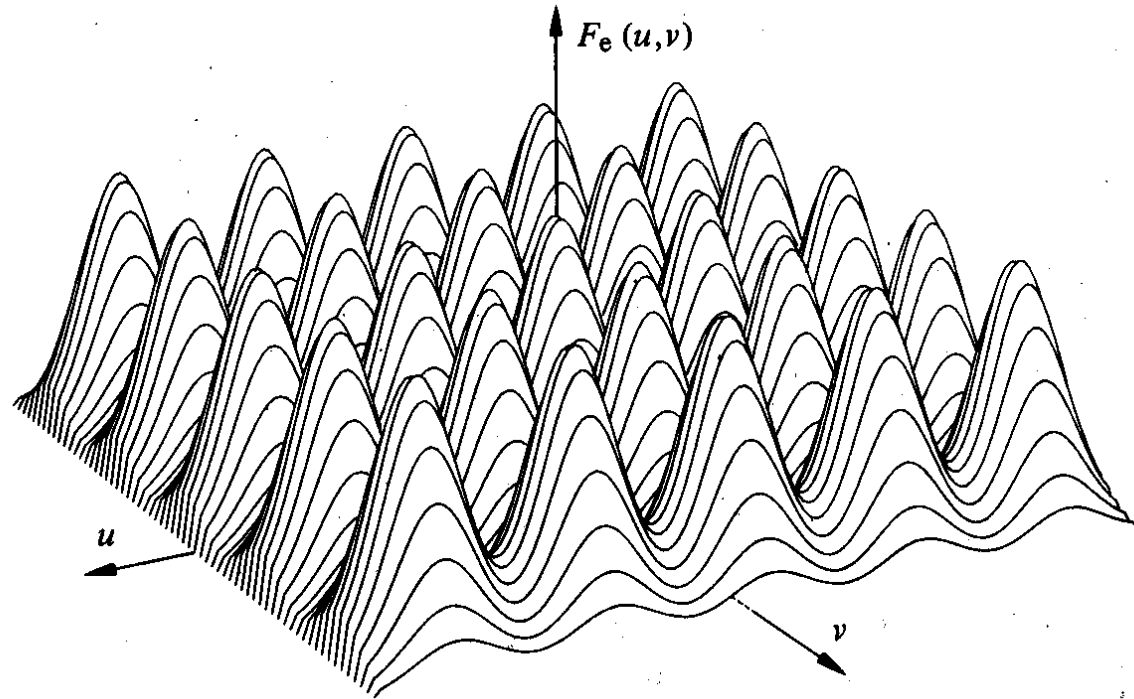
Spectre de I_e



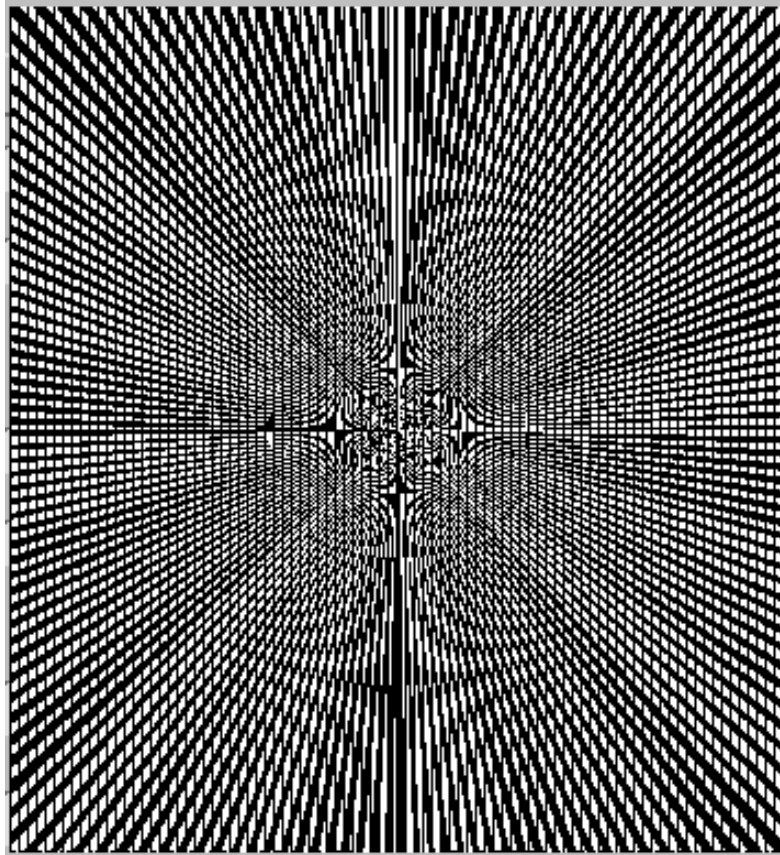
*échantillonnage sans recouvrement de spectre
(Shannon respecté)*

Echantillonnage 2D

Recouvrement de spectre (Shannon non respecté)



Exemple: Figure de Moiré



☞ Remède: Suppression des hautes fréquences avant échantillonnage (filtre passe-bas)

*Non respect
de Shannon*



Sélection 1 pixel / bloc (4x4)



Sélection 1 pixel / bloc (8x8)

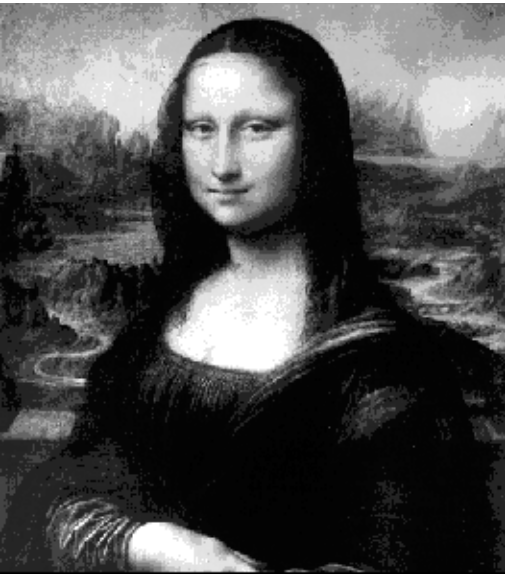


image originale

Moyennage par bloc 4x4 pixels



Moyennage par bloc 8x8 pixels



*Application d'un
filtre passe-bas*

